



(51) МПК  
*B23P 15/28* (2006.01)  
*E21B 10/46* (2006.01)  
*C22C 29/00* (2006.01)

ФЕДЕРАЛЬНАЯ СЛУЖБА  
 ПО ИНТЕЛЛЕКТУАЛЬНОЙ СОБСТВЕННОСТИ,  
 ПАТЕНТАМ И ТОВАРНЫМ ЗНАКАМ

(12) ОПИСАНИЕ ИЗОБРЕТЕНИЯ К ПАТЕНТУ

(21), (22) Заявка: 2006109579/02, 27.03.2006

(24) Дата начала отсчета срока действия патента:  
 27.03.2006

(45) Опубликовано: 27.09.2007 Бюл. № 27

(56) Список документов, цитированных в отчете о поиске: RU 2178012 С2, 10.01.2002. RU 2178011 С2, 10.01.2002. RU 2106932 С1, 20.03.1998. US 6221479 A, 24.04.2001. EP 0737756 B1, 16.10.1996. US 5670726 A, 23.09.1997.

Адрес для переписки:  
 119192, Москва, В-192, Мичуринский пр-кт, 1,  
 НИИ механики МГУ им. М.В. Ломоносова,  
 зам.директора А.М.Локощенко

(72) Автор(ы):  
 Коршунов Анатолий Борисович (RU),  
 Крысов Георгий Александрович (RU),  
 Иванов Александр Николаевич (RU),  
 Баринов Виктор Георгиевич (RU),  
 Буслов Павел Евгеньевич (RU)

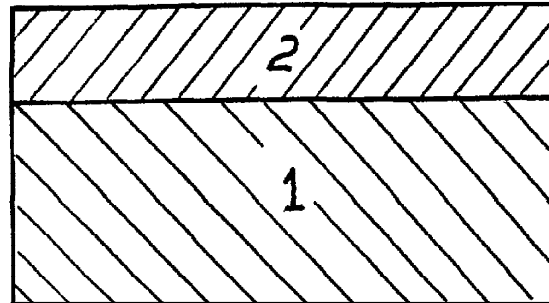
(73) Патентообладатель(и):  
 Научно-исследовательский институт механики  
 Московского государственного университета им.  
 М.В. Ломоносова (RU)

(54) ТВЕРДОСПЛАВНЫЙ ИНСТРУМЕНТ

(57) Реферат:

Изобретение относится к порошковой металлургии, в частности к получению твердосплавного инструмента для холодной и горячей механической обработки. Может использоваться для изготовления режущего инструмента, бурового инструмента и фильтер. Инструмент выполнен из твердого сплава, состоящего из монокарбида вольфрама, карбида титана и цементирующей кобальтовой связки. Приповерхностный слой толщиной 3-15 мкм содержит 50-99,5 мас.% (Ti, W)C. Кристаллические решетки карбидных фаз в приповерхностном слое имеют интегральную разупорядоченность  $(b/a)_{\Sigma} < 2$ . При этом  $(b/a)_{\Sigma} = (b/a)_{(Ti,W)C} \cdot C_{(Ti,W)C} + (b/a)_{WC} \cdot C_{WC}$ , где  $(b/a)_{(Ti,W)C}$  - разупорядоченность кристаллической решетки (Ti, W)C;  $(b/a)_{WC}$  - разупорядоченность кристаллической решетки WC;  $C_{(Ti,W)C}$  - концентрация (Ti, W)C, мас.%;  $C_{WC}$  - концентрация

WC, мас.%;  $b = \beta_2/\beta_1$ ;  $a = \tan\vartheta_2/\tan\vartheta_1$ ;  $\beta$  - физическое уширение дифракционной линии;  $\vartheta$  - угловое положение центра тяжести дифракционной линии; индексы 1 и 2 соответствуют дифракционным линиям, снятым при малых и больших углах дифракции рентгеновских лучей. Полученный инструмент имеет высокий коэффициент стойкости и, следовательно, увеличенный срок службы. 1 ил., 3 табл.



RU 2 307 012 C1

RU 2 307 012 C1



(51) Int. Cl.  
*B23P 15/28* (2006.01)  
*E21B 10/46* (2006.01)  
*C22C 29/00* (2006.01)

FEDERAL SERVICE  
FOR INTELLECTUAL PROPERTY,  
PATENTS AND TRADEMARKS

(12) ABSTRACT OF INVENTION

(21), (22) Application: 2006109579/02, 27.03.2006

(24) Effective date for property rights: 27.03.2006

(45) Date of publication: 27.09.2007 Bull. 27

Mail address:

119192, Moskva, V-192, Michurinskij pr-kt, 1,  
NII mehaniki MGU im. M.V. Lomonosova,  
zam.direktora A.M.Lokoshchenko

(72) Inventor(s):

Korshunov Anatolij Borisovich (RU),  
Krysov Georgij Aleksandrovich (RU),  
Ivanov Aleksandr Nikolaevich (RU),  
Barinov Viktor Georgievich (RU),  
Buslov Pavel Evgen'evich (RU)

(73) Proprietor(s):

Nauchno-issledovatel'skij institut mehaniki  
Moskovskogo gosudarstvennogo universiteta im.  
M.V. Lomonosova (RU)

(54) HARD-ALLOY TOOL

(57) Abstract:

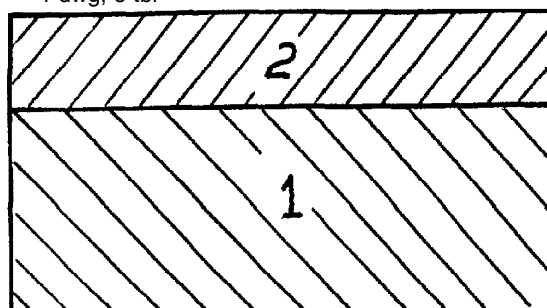
FIELD: powder metallurgy, namely manufacture of hard-alloy tools for cold and hot mechanical working, possibly cutting tools, drilling tools and draw plates.

SUBSTANCE: tool is made of hard alloy containing tungsten mono-carbide, titanium carbide and cementing cobalt binder. Near-surface layer with thickness 3 -15 micrometers includes 50 -99.5 mass % of (Ti,W)C. Crystal lattices of carbide phases in near-surface layer have integral disorder degree  $(b/a)_{\Sigma} < 2$ .  $(b/a)_{\Sigma} = (b/a)_{(Ti,W)C} - C_{(Ti,W)C} + (b/a)_{WC} - C_{WC}$  where  $(b/a)_{(Ti,W)C}$  -disorder of crystalline lattice of (Ti,W)C;  $(b/a)_{WC}$  -disorder of crystalline lattice of WC;  $C_{(Ti,W)C}$  -concentration of (Ti,W)C mass%;  $C_{WC}$  -concentration of WC, mass%;  $b = \beta_2 / \beta_1$ ;  $a = tgv_2/tgv_1$ ;  $\beta$  - physical widening of

diffraction line;  $v$  - angular position of gravity center of diffraction line; indexes 1 and 2 correspond to diffraction lines taken at small and large diffraction angles of X-rays.

EFFECT: high strength factor of tool and therefore its increased useful life period.

1 dwg, 3 tbl



RU 2 3 0 7 0 1 2 C 1

RU 2 3 0 7 0 1 2 C 1

Изобретение относится к области машиностроения и может быть использовано для холодной и горячей механической обработки различных материалов, преимущественно металлов и их сплавов, и может быть выполнено в виде различного типа резцов, сверл, фрез, бурового инструмента, фильтр и т.п.

5 Известен инструмент, выполненный из твердого сплава на основе карбида титана с железной связкой (карбидостали) [1]. Недостатком известного инструмента является его сравнительно низкая износостойкость, что можно объяснить высокой степенью разупорядоченности кристаллической решетки карбида титана.

10 Известен инструмент, выполненный из твердого сплава на основе монокарбида вольфрама с кобальтовой связкой [2]. Недостатками известного инструмента являются его малые твердость и износостойкость, что можно объяснить высокой степенью разупорядоченности кристаллической решетки монокарбида вольфрама.

15 Наиболее близким к заявляемому инструменту является инструмент, выполненный из твердого сплава, состоящего из монокарбида вольфрама, карбида титана и цементирующей кобальтовой связки и обладающего повышенной концентрацией сложного карбида (Ti, W)C, достигающей 50-99,5 массовых процентов в приповерхностном слое толщиной 3÷15 мкм [3]. Недостатком известного инструмента является сравнительно малый срок службы, что обусловлено высокой степенью интегральной разупорядоченности карбидов вольфрама и титана.

20 Заявляемое изобретение направлено на увеличение срока службы инструмента.

Указанный результат достигается тем, что инструмент выполнен из твердого сплава, содержащего монокарбид вольфрама, карбид титана и цементирующую кобальтовую связку и обладающего повышенной концентрацией сложного карбида (Ti, W)C, достигающей 50÷99,5 массовых процентов в приповерхностном слое толщиной 3÷15 мкм, 25 при этом интегральная разупорядоченность  $(b/a)_{\Sigma}$  кристаллических решеток карбидных фаз - монокарбида вольфрама WC и сложного карбида (Ti, W)C - меньше двух, где  $(b/a)_{\Sigma} = (b/a)_{(Ti,W)C} \cdot C_{(Ti,W)C} + (b/a)_{WC} \cdot C_{WC}$ ,  $(b/a)_{(Ti,W)C}$  - разупорядоченность кристаллической решетки сложного карбида (Ti, W)C,  $(b/a)_{WC}$  - разупорядоченность кристаллической решетки монокарбида вольфрама WC,  $C_{(Ti,W)C}$  - концентрация сложного карбида (Ti, W)C 30 в массовых процентах,  $C_{WC}$  - концентрация монокарбида вольфрама WC в массовых процентах,  $b = \beta_2/\beta_1$ ,  $a = \tan\vartheta_2/\tan\vartheta_1$ ,  $\beta$  - физическое уширение дифракционной линии,  $\vartheta$  - угловое положение центра тяжести дифракционной линии, индексы 1 и 2 отвечают дифракционным линиям, снятым при малых и больших углах дифракции рентгеновских лучей на исследуемом образце.

35 Отличительным признаком заявляемого изобретения является выполнение кристаллических решеток карбидных фаз - монокарбида вольфрама WC и сложного карбида (Ti, W)C - с интегральной разупорядоченностью  $(b/a)_{\Sigma}$ , меньшей двух, где  $(b/a)_{\Sigma} = (b/a)_{(Ti,W)C} \cdot C_{(Ti,W)C} + (b/a)_{WC} \cdot C_{WC}$ ,  $(b/a)_{(Ti,W)C}$  - разупорядоченность кристаллической решетки сложного карбида (Ti, W)C,  $(b/a)_{WC}$  - разупорядоченность кристаллической решетки монокарбида вольфрама WC,  $C_{(Ti,W)C}$  - концентрация сложного карбида (Ti, W)C 40 в массовых процентах,  $C_{WC}$  - концентрация монокарбида вольфрама WC в массовых процентах,  $b = \beta_2/\beta_1$ ,  $a = \tan\vartheta_2/\tan\vartheta_1$ ,  $\beta$  - физическое уширение дифракционной линии,  $\vartheta$  - угловое положение центра тяжести дифракционной линии, индексы 1 и 2 отвечают дифракционным линиям, снятым при малых и больших углах дифракции рентгеновских лучей на исследуемом образце.

50 Установлено, что если интегральная разупорядоченность кристаллических решеток карбидных фаз (Ti, W)C и WC больше двух, то увеличение срока службы инструмента практически не заметно. Значение интегральной разупорядоченности, меньшее двух, обеспечивает достижение заявленного результата.

Сущность заявленного изобретения поясняется чертежом и нижеследующим описанием.

На чертеже приведено схематическое изображение инструмента. 1 - инструмент, 2 - приповерхностный слой, обогащенный сложным карбидом (Ti, W)C.

На чертеже схематично представлен поперечный разрез твердосплавного инструмента

- 1, иллюстрирующий расположение обогащенного сложным карбидом (Ti, W)C слоя 2 на его поверхности. Твердосплавный инструмент закрепляется в основании известным образом, образуя устройство, которое в целом может являться резцом, сверлом, фрезой, фильтерой, протяжкой и т.п. В частном случае таким основанием может служить зажимной патрон
- 5 станка, в котором закрепляется твердосплавный инструмент (резец, сверло, развертка, метчик и т.п.).

Работа инструмента не описывается, так как он не содержит движущихся узлов и деталей.

- Обогащенный сложным карбидом (Ti, W)C приповерхностный слой инструмента и
- 10 интегральная разупорядоченность в нем монокарбида вольфрама WC и сложного карбида (Ti, W)C, меньшая двух, создаются термообработкой. Готовое изделие из твердого сплава, получаемое известными методами порошковой металлургии, подвергают нагреву до температуры, подбираемой экспериментально, превышающей температуру стационарного спекания изделия в присутствии жидкой фазы [4] (высокотемпературная
- 15 обработка (ВТО)). Время выдержки при подобранных температурах также подбирается экспериментально. Уменьшение интегральной разупорядоченности монокарбида вольфрама и сложного карбида титана и вольфрама до значений, меньших двух, происходит вследствие нагрева твердого сплава до высоких температур. Степень разупорядоченности монокарбида вольфрама и сложного карбида (Ti, W)C регистрируется
- 20 методом рентгеновской дифрактометрии.

Твердосплавный инструмент с уменьшенным значением интегральной разупорядоченности монокарбида вольфрама и сложного карбида (Ti, W)C закрепляется в основании известными методами и полученное устройство для обработки материалов (инструмент, оснастка) используется по назначению.

- 25 Проверка достижения заявленного технического результата осуществлялась следующим образом. После термообработки пластины из твердого сплава Т15К6 (состав в массовых процентах: WC - 79, TiC - 15, Co - 6) исследовались методом рентгеновской дифрактометрии [5]. Для исследования монокарбида вольфрама WC использовались линии 10.1 ( $\vartheta_1=24,39^\circ$ ) и 11.2 ( $\vartheta_2=49,42^\circ$ ), для исследования двойного карбида (Ti, W)C
- 30 использовались линии 200 ( $\vartheta_1=21,01^\circ$ ) и 400 ( $\vartheta_2=45,60^\circ$ ). Применялось излучение CuK $\alpha$ . После рентгеновских исследований пластины из твердого сплава Т15К6 использовались для изготовления резцов для токарной обработки.

- Производственные испытания с целью определения срока службы резцов осуществлялись на СП "Пигма-Kennametal". Испытания опытной партии неперетачиваемых
- 35 режущих пластин KNUX 190810 из твердого сплава Т15К6 производства КЗТС проведены на токарно-винторезном станке с ЧПУ модели 16К20Ф3. Обрабатывались различные детали для горного инструмента, изготовленные из стали 30ХГСА. Режимы резания: скорость резания V=90 м/мин, подача S=0,3 мм/об, глубина резания t=3 мм.

- 40 Результаты рентгеновских измерений представлены в таблице 1, а производственных испытаний - в таблице 2. В таблице 3 сопоставлены результаты рентгеновских измерений и производственных испытаний.

- Из табл.1 следует, что основной вклад в интегральную разупорядоченность  $(b/a)_\Sigma$  вносит разупорядоченность сложного карбида (Ti, W)C как вследствие ее большей величины по сравнению с разупорядоченностью монокарбида вольфрама, так и почти на
- 45 порядок большей концентрацией (Ti, W)C (84,2÷89,2 мас.% по сравнению с 8,5÷12,4 мас.%).

- Из табл.2 вытекает, что время работоспособности термообработанных пластин колеблется в широких пределах, изменяясь от 114 до 858 мин, что меньше и больше времени работоспособности базовой пластины, равного 213 мин.

- Наибольший интерес для практических применений представляют данные табл.3, в
- 50 которой сопоставлены значения интегральной разупорядоченности  $(b/a)_\Sigma$  со значениями коэффициента стойкости K<sub>ст</sub> вто термообработанных пластин, определяемого по формуле

$$K_{ct\text{ BTO}} = \frac{t_{p\text{ BTO}}}{t_p}$$

где  $t_p$  - время работоспособности базовой пластины,  $t_{p\text{ BTO}}$  - время работоспособности пластины, подвергнутой высокотемпературной обработке (ВТО).

Из табл.3 очевидно, что чем больше  $(b/a)_{\Sigma}$ , тем меньше коэффициент стойкости термообработанных пластин. Данное утверждение целиком выполняется в случае коэффициентов стойкости 1-го лезвия. В случае 2-го лезвия для больших значений  $(b/a)_{\Sigma}$ , близким к двум, это утверждение несправедливо. Однако для коэффициентов стойкости как первого, так и второго лезвий и среднего значения коэффициента стойкости двух лезвий  $\overline{K_{ct}}$  справедливо другое положение, являющееся основным положительным результатом заявляемого изобретения: при значениях  $(b/a)_{\Sigma}$ , больших двух, значения  $K_{ct}$  меньше двух ( $K_{ct}=0,53 \div 1,62$ ), что либо не имеет особого практического значения ( $K_{ct}=1,57 \div 1,62$ ), либо бессмысленно ( $K_{ct}=1,08$ ), либо просто вредно ( $K_{ct}=0,53$ ).

Итак, при выполнении условия:  $(b/a)_{\Sigma} < 2$ , среднее значение стойкости

пластины  $\overline{K_{ct}} > 2$ , т.е. увеличивается более, чем вдвое, время работоспособности термообработанной пластины по сравнению с базовой пластиной.

Таблица 1 Результаты рентгеновских измерений пластин KNUX 190810 из твердого сплава T15K6 производства КЗТС после высокотемпературной обработки					
№ пл-ны	$(b/a)_{(Ti,W)C}$	$C_{(Ti,W)C}$ , мас.%	$(b/a)_{WC}$	$C_{WC}$ , мас.%	$(b/a)_{\Sigma}=(b/a)_{(Ti,W)C} \cdot C_{(Ti,W)C} + (b/a)_{WC} \cdot C_{WC}$
1	1,550	86,5	1,055	10,6	1,457
2	1,936	85,2	1,262	11,0	1,788
3	1,992	84,2	1,152	12,4	1,820
4	2,107	85,7	1,242	11,3	1,946
5	2,128	88,6	1,365	8,6	2,003
6	2,208	86,5	1,109	10,6	2,027
7	1,998	85,7	1,124	10,3	1,828
8	1,992	85,0	1,159	11,7	1,829
9	1,917	86,3	1,117	10,4	1,771
10	2,399	86,0	1,247	10,3	2,192
11	2,169	86,8	1,188	9,6	1,997
12	2,091	89,2	1,277	8,5	1,974

Таблица 2 Результаты производственных испытаний пластин KNUX 190810 из твердого сплава T15K6 производства КЗТС после высокотемпературной обработки					
№ пл-ны	Наименование обрабатываемой детали	Количество обработанных деталей	Время работоспособности пластины $t_p$ , МИН		
			1 лезвие	2 лезвие	1 лезвие
1	G60KB90	150	140	858	801
2	RG52D	160	160	568	568
3	G50-16S	160	160	522	522
4	L36G-16S	130	230	364	644
5	G60KB90	60	20	343	114
6	G50EDC-19,5	125	125	334	334
Базовая	RG52D	60	60	213	213

Таблица 3 Сопоставление результатов рентгеновских измерений и производственных испытаний пластин KNUX 190810 из твердого сплава T15K6 производства КЗТС после высокотемпературной обработки					
№ пл-ны	$(b/a)_{\Sigma}$	Наименование обрабатываемой детали	Коэффициент стойкости		
			1-го лезвия $K_{ct1}$	2-го лезвия $K_{ct2}$	$\overline{K_{ct}} = \frac{K_{ct1} + K_{ct2}}{2}$
1	1,457	G60KB90	4,03	3,76	3,90
2	1,788	RG52D	2,66	2,66	2,66
3	1,820	G50-16S	2,45	2,45	2,45
4	1,946	L36G-16S	1,70	3,02	2,36
5	2,003	G60KB90	1,62	0,53	1,08
6	2,027	G50EDC-19,5	1,57	1,57	1,57

**Источники информации**

1. Гуревич Ю.Г., Нарва В.К., Фраге Н.П. Карбидостали. М.: Металлургия, 1988. 142 с.
2. Третьяков В.И. Основы металловедения и технологии производства спеченных твердых сплавов. М.: Металлургия, 1976, 528 с. С.21-125.
- 5 3. Устройство для обработки твердых материалов. Пат. РФ на изобретение №2178012 от 10.01.2002 г. Патентообладатель - Научно-исследовательский институт механики МГУ им. М.В.Ломоносова. Авторы: Коршунов А.Б., Бажинов А.Н., Рябов В.Н. и др. (Прототип).
- 10 4. Способ упрочнения изделий из карбидосодержащих сплавов. Пат. РФ на изобретение №2181643 от 27.04.2002 г. Патентообладатель - Научно-исследовательский институт механики МГУ им. М.В.Ломоносова. Авторы: Коршунов А.Б., Бажинов А.Н., Рябов В.Н. и др.
- 15 5. Горелик С.С., Скаков Ю.А., Растиоргуев Л.Н. Рентгенографический и электронно-оптический анализ. Учебное пособие для вузов. Изд. 4-е, перераб. и доп. - М.: МИСиС, 2002. - 360 с.

**15 Формула изобретения**

Инструмент для механической обработки, выполненный из твердого сплава, состоящего из монокарбида вольфрама, карбида титана и цементирующей кобальтовой связки, и имеющий приповерхностный слой, содержащий сложный карбид (Ti, W)C в концентрации 20 50-99,5 мас.% толщиной 3÷15 мкм, отличающийся тем, что кристаллические решетки карбидных фаз в приповерхностном слое имеют интегральную разупорядоченность  $(b/a)_{\Sigma} < 2$ , при этом

$$(b/a)_{\Sigma} = (b/a)_{(Ti,W)C} \cdot C_{(Ti, W)C} + (b/a)_{WC} \cdot C_{WC},$$

где  $(b/a)_{(Ti,W)C}$  - разупорядоченность кристаллической решетки сложного карбида (Ti, 25 WC);

$C_{(Ti,W)C}$  - концентрация сложного карбида (Ti, W)C, мас.%;

$C_{WC}$  - концентрация монокарбида вольфрама WC, мас.%;

$b = \beta_2 / \beta_1$ ;

30  $a = \tan \vartheta_2 / \tan \vartheta_1$ ;

$\beta$  - физическое уширение дифракционной линии;

$\vartheta$  - угловое положение центра тяжести дифракционной линии;

индексы 1 и 2 соответствуют дифракционным линиям, снятым при малых и больших углах дифракции рентгеновских лучей.

35

40

45

50